

$$\text{No limite de } Z \gg R \quad \vec{B} \rightarrow \frac{\mu_0 I}{2Z^3} R^2 \hat{z} = \vec{B}_{\text{dip}}$$

Capítulo 6: Magnetização da Materia.

Diamagnéticos, Paramagnéticos e Ferromagnéticos.

→ Magnetismo como já vimos pode ser explicado em termos de cargas elétricas em movimento ou correntes em "fios". De fato na matéria existe pequenos correntes elétricas como os elétrons orbitando um núcleo e o "spin".
(visão clássica!)

Macroscopicamente estes correntes podem ser desprazados e consideramos opacos pequenos dipólos magnéticos que podem ou não ter orientação na presença de campo.

Em resumo: → Pará: Prefixo grego (proximidade, paralelo)

Paramagnéticos: Material adquire magnetização \vec{M} na direção de \vec{B} . Quando o campo é removido $\vec{M} \rightarrow 0$ devido a desordem térmica. (Exemplo: Platôdio).

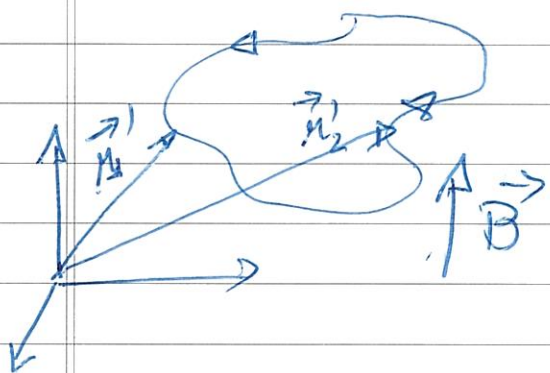
→ Dia: Suf. grego para apartamento.
Diamagnéticos: Alinhamento antiparalelo. Similaramente ao caso paramagnético (Exemplo: Quio).

Ferromagnéticos: Alineia-se ao longo do campo \vec{B} , mas quando o campo externo \vec{B} é removido, a magnetização se mantém, dependendo da temperatura do material.
 (Exemplo: Ferro). Magnetização atua depende da história magnética

Ferrimagnéticos: ↑↓↑↓↑↑↓ Exemplo: Fe_3O_4 (não cancela completamente)

Anti-Ferromagnéticos: ↑↓↑↓↑↓↑ Exemplo: Fe_2O_3 (cancela!)

Torque e Força sobre dipolo magnético



$$\vec{F} = \int \vec{B} \cdot d\vec{l} \times \vec{B} = 0$$

Aproveitando o campo é uniforme,
a força será nula.

Por outro lado, o torque depende da posição
com relação à origem:

$$\vec{N} = \vec{R}' \times \vec{F}(\vec{r}') = I \oint \vec{R}' \times (d\vec{l} \times \vec{B})$$

$$\vec{N} = I \oint (\vec{r}' \cdot d\vec{l}) \vec{B} - I \oint (\vec{B} \cdot \vec{r}') d\vec{l}$$

Usando Stokes.

$$\vec{N} = I \vec{B} \int_{S} (\nabla' \times \vec{r}') \cdot d\vec{a}' - I \vec{B} \times \int_{S} d\vec{a}'$$

Outra equação $\oint (\vec{r}' \cdot d\vec{l})$
na página 216 das
notas de aula

$$\therefore \vec{N} = - I \vec{B} \times \int_{S} d\vec{a}' = - \vec{B} \times \int_{S} I d\vec{e}'$$

$$\therefore \boxed{\vec{N} = \vec{m} \times \vec{B}}$$

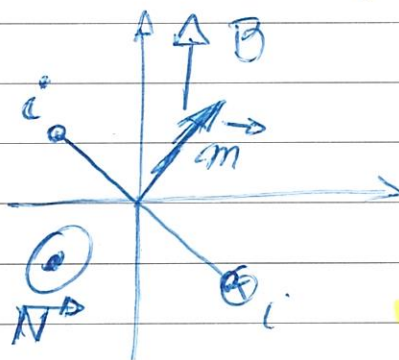
O torque sobre um circuito
qualquer de corrente depende
da magnetização (momento magnético
do dipolo)

* Na presença de
 \vec{B} uniforme!

No caso de \vec{B} não ser uniforme, o campo de um dipolo magnético (aquele que só tem o termo de dipolo na expansão multipoles) infinitesimal é que dará o torque exato em relação a \vec{n} .

Nota: \vec{N} é análogo ao corrente elétrica $\vec{N} = \vec{\rho} \times \vec{E}$

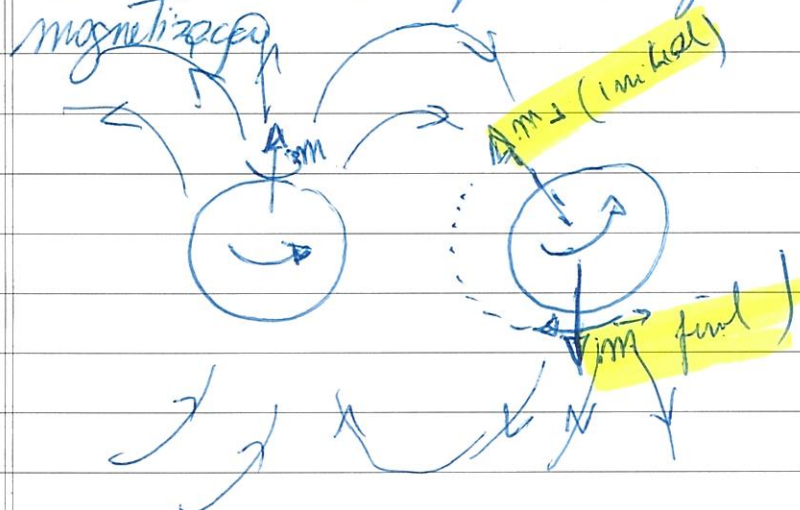
\vec{m} tem a giro paralelo à \vec{B}



Isto é exatamente o ocorrido em paramagnetismo.

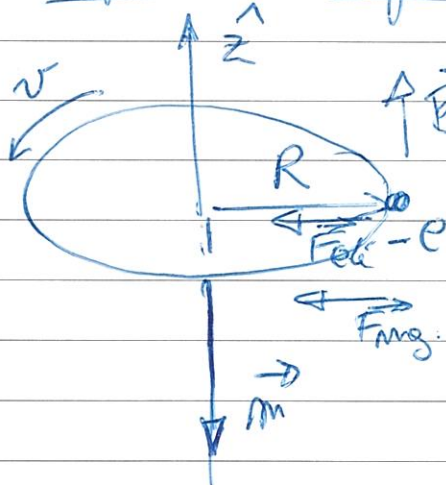
Podemos imaginar cada elétroto como um pequeno dipolo magnético.
(uma esfera carregada guarda) (spin)

Em átomos ou moléculas com número ímpar de elétrons o elétroto resultante desemparelhado do elétroto vizinho tende a se alinhar de forma oposta e neutralizar a magnetização.



Obviamente este cálculo ainda é incompleto devido ao efeito térmico!

Efeito do Campo Magnético em órbitas atômicas



Assumindo órbita circular.

$$I = \frac{-e}{T} = -e \frac{v}{2\pi R}$$

$$\text{mas } \vec{m} = I\vec{\alpha} = \frac{ev}{2\pi R} R \hat{z} \xrightarrow{\text{polar}} \\ \boxed{\vec{m} = \frac{-1}{2} ev R \hat{z}}$$

Para uma órbita estável, temos que equilibrar forças opostas. A resultante é a força elétromagnética.

$$m_e \frac{v^2}{R} = \frac{1}{4\pi\epsilon_0} \frac{e^2}{R^2} = m_e \frac{v^2}{R} \quad \left(\vec{F} = m\vec{\alpha} \right) \xrightarrow{\text{aceleração}} \text{massa}$$

No presença de um \vec{B} externo temos ainda a força elétrica

$$\vec{F}_{\text{elec}} = -e(\vec{v} \times \vec{B}) \hat{u}$$

$$\therefore \frac{1}{4\pi\epsilon_0} \frac{e^2}{R^2} + e\bar{v}\vec{B} = m_e \frac{\bar{v}^2}{R}$$

Dependendo da direção de \vec{B} , a velocidade pode aumentar ou diminuir, por isto \bar{v} ,

No caso $\bar{v} > v \Rightarrow$

$$e\bar{v}\vec{B} = \frac{m_e(\bar{v}^2 - v^2)}{R} = \frac{m_e(\bar{v} + v)(\bar{v} - v)}{R}$$

$$\Delta v = \bar{v} - v \text{ quando pequeno. e: } \bar{v} + v \approx \bar{v}$$

$$e\vec{v} \times \vec{B} = \frac{me}{R} 2\pi \Delta v \Rightarrow \boxed{\Delta v = \frac{eRB}{2me}}$$

Veja que quando \vec{B} é o eletron aumenta de velocidade. Isto serve para tentar com o fato que \vec{B} não redige trabalho?

No verdade veremos que um campo magnético é capaz de induzir um campo elétrico (Cap. 7) e este é quem de fato acelera o eletron!

$$\boxed{\Delta \vec{m}^* = -\frac{1}{2} e (\Delta v) R \hat{z} = -\frac{e^2 R^2}{4me} \vec{B}}$$

Neste caso, temos que \vec{B} diminui \vec{m}^* .

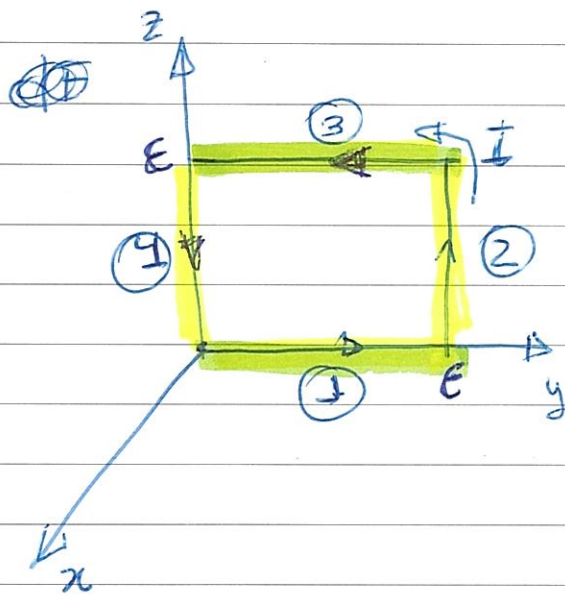
\vec{B} leva à uma diminuição de \vec{m}^* e portanto uma diminuição do campo magnético cujo efeito é óbvio. Esta é o chamado diamagnetismo.

Normalmente os orbitais não estão alinhados com o campo. Neste caso, cada momento de dipolo orbital se cancela na soma. Na mesma de um campo existe um alinhamento parcial anti-paralelo. Este efeito é muito menor que o do paramagnetismo (existem com spin desenrolhado). É mais facilmente observado no caso de íons e moléculas com um número par de eletrons; pois o efeito da spin é cancelado!



Outra forma de Calcular
Força sobre dipolo mag.

pg 225



Força sobre uma espira quadrada
de lado ϵ (infinitesimal) (pág 6.4)

$$\vec{F} = I \oint d\vec{l} \times \vec{B}$$

$$\begin{aligned} d\vec{F} &= Idy \hat{y} \times \vec{B}(0, y, 0) \\ &+ Idz \hat{z} \times \vec{B}(0, \epsilon, z) \\ &+ (-I)dy \hat{y} \times \vec{B}(0, y, \epsilon) \\ &+ (-I)dz \hat{z} \times \vec{B}(0, 0, z) \end{aligned}$$

$$\therefore d\vec{F} = I \left\{ -dy \hat{y} \times \left[\vec{B}(0, y, \epsilon) - \vec{B}(0, y, 0) \right] \right. \approx \epsilon \frac{\partial \vec{B}}{\partial z}$$

$$\left. + dz \hat{z} \times \left[\vec{B}(0, \epsilon, z) - \vec{B}(0, 0, z) \right] \right\} \approx \epsilon \frac{\partial \vec{B}}{\partial y} |_{(0, 0, z)}$$

$$\therefore \vec{F} = I \int \left[\quad \right] |_{(0, 0, z)}$$

$$\vec{F} = \int d\vec{F} = I \epsilon^2 \left\{ \hat{z} \times \frac{\partial \vec{B}}{\partial y} - \hat{y} \times \frac{\partial \vec{B}}{\partial z} \right\}$$

Lembra-se que $\int dy \frac{\partial \vec{B}}{\partial z} |_{(0, y, 0)} \approx \epsilon \frac{\partial \vec{B}}{\partial z} |_{(0, 0, 0)}$ e $\int dz \frac{\partial \vec{B}}{\partial y} |_{(0, 0, z)} \approx \epsilon \frac{\partial \vec{B}}{\partial y} |_{(0, 0, z)}$

ou $\vec{F} = I \epsilon^2 \left| \begin{array}{c|ccc|c} \hat{x} & \hat{y} & \hat{z} & & \hat{x} & \hat{y} & \hat{z} \\ \hline 0 & 0 & 1 & - & 0 & 1 & 0 \\ \frac{\partial B_x}{\partial B_y} & \frac{\partial B_y}{\partial y} & \frac{\partial B_z}{\partial y} & & \frac{\partial B_x}{\partial z} & \frac{\partial B_y}{\partial z} & \frac{\partial B_z}{\partial z} \end{array} \right|$

Msp dipolo mag

$$\vec{F} = m \left\{ \hat{y} \frac{\partial B_x}{\partial y} - \hat{x} \frac{\partial B_y}{\partial y} - \hat{x} \frac{\partial B_z}{\partial z} - \hat{z} \frac{\partial B_x}{\partial z} \right\}$$

Podemos obter o/o termo $-\hat{i} \left(\frac{\partial B_y}{\partial y} + \frac{\partial B_z}{\partial z} \right)$ e

lembre que $\nabla \cdot \vec{B} = 0 \therefore \frac{\partial B_x}{\partial x} = -\frac{\partial B_y}{\partial y} - \frac{\partial B_z}{\partial z}$

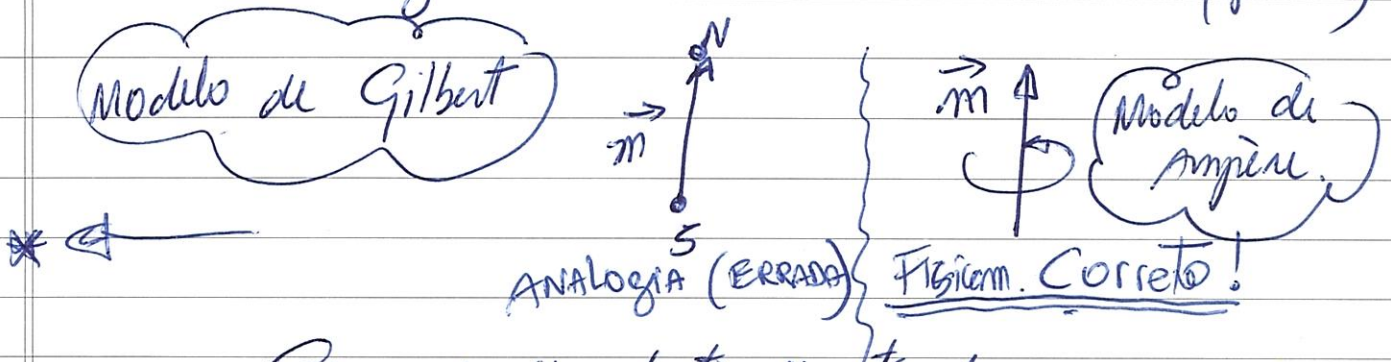
$$\therefore \vec{F} = m \left\{ \hat{x} \frac{\partial B_x}{\partial x} + \hat{y} \frac{\partial B_x}{\partial y} + \hat{z} \frac{\partial B_x}{\partial z} \right\}$$

Isto é o mesmo coisa que $\vec{F} = m \nabla B_x$

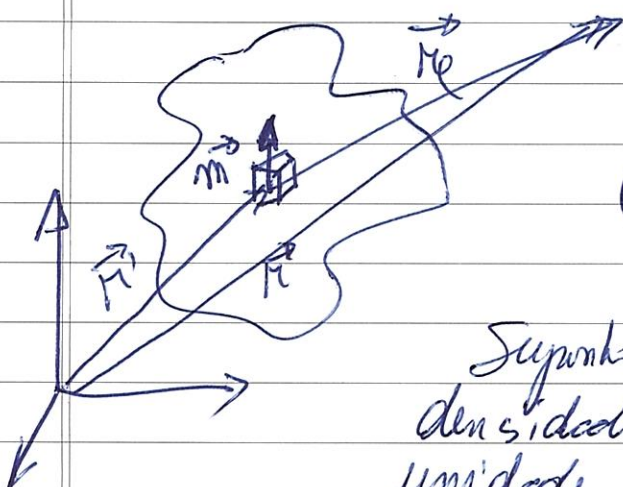
Como $\vec{B} \cdot \vec{m} = m \hat{x}$ entao $\vec{F} = (\vec{m} \cdot \vec{B})$ para $\vec{m} \cdot \vec{B} = m B_x$

Mostramos o resultado q/ $\boxed{\vec{F} = \nabla(\vec{m} \cdot \vec{B})}$

este é análogo ao caso elétrico $\vec{F} = \nabla(\vec{p} \cdot \vec{E})$



Campo de um objeto magnetizado



$$\vec{A}(\vec{r}) = \frac{\mu_0}{4\pi} \frac{\vec{m} \times \hat{r}}{r^3}$$

→ Potencial Veto
Campo de um dipolo magnético.

Supõe agora que o objeto tem uma densidade de magnetização $M(\vec{r}')$ por unidade de volume.

$$\therefore \boxed{\vec{A}(\vec{r}) = \frac{\mu_0}{4\pi} \int_{V'} \frac{M(\vec{r}') \times \hat{r}'}{r'^2} dV'}$$

Notar a espontânea simularidade de formação, comparado com o caso de um dieletônico e como obtivemos $\vec{V}(\vec{r})$ a partir de $\vec{P}(\vec{r}')$. (cada) $\nabla' = \nabla$

Novamente podemos explorar $\frac{\nabla' \cdot \nabla}{\nabla' \cdot \nabla}$ $= \frac{1}{\epsilon_0}$

$$\therefore \vec{A}(\vec{r}) = \frac{\mu_0}{4\pi} \int_{V'} \left[\vec{M}(\vec{r}') \times \left(\frac{\nabla' \cdot \nabla}{\epsilon_0} \right) \right] dV'$$

facil mostrar! V' (ver figura 7 do quad. vetorial)

$$\vec{A}(\vec{r}) = \frac{\mu_0}{4\pi} \int_{V'} \left[\frac{1}{\epsilon_0} \left[\vec{V}' \times \vec{M}(\vec{r}') \right] \right] dV' - \int \vec{V}' \times \left[\frac{\vec{M}(\vec{r}')}{\epsilon_0} \right] dV'$$

verso da 2.24

Da mesma forma que antes, a segunda integral pode ser simplificada usando (problema 1.60(b))

$\vec{v} \times \vec{c}$ com \vec{c} constante

$$\therefore \int \nabla \cdot (\vec{v} \times \vec{c}) dVol = \int (\vec{v} \times \vec{c}) \cdot d\vec{a} = \int (d\vec{a} \times \vec{v}) \cdot \vec{c}$$

S S

Nova 6/6

$$= \int \vec{0} \cdot d\vec{a} \times \vec{c}$$

S S

$$M_3 \int_{Vol} \left[\vec{c} \cdot (\nabla \times \vec{v}) - \vec{v} \cdot (\nabla \times \vec{c}) \right] dVol = \int_{Vol} (\vec{F} \times \vec{v}) dVol \cdot \vec{c}$$

$$\therefore \int_{Vol} (\nabla \times \vec{v}) dVol = - \oint_{Sup.} \vec{v} \times d\vec{a}$$

$$\text{Dado ponto } - \int_{\text{Vol}} \nabla' \times \left[\frac{\vec{M}(\vec{r}')}{\mu_0} \right] dV' = + \oint \frac{\vec{M} \times d\vec{s}'}{\mu_0}$$

$$\boxed{\vec{A}'(\vec{r}) = \frac{\mu_0}{4\pi} \left[\int_{\text{Vol}} \frac{[\nabla' \times \vec{M}(\vec{r}')] dV'}{\mu_0} + \oint \frac{\vec{M}(\vec{r}') \times d\vec{s}'}{\mu_0} \right]}$$

Para o termo de Volume temos $\vec{J}_M^{\text{sub b}} = \nabla' \times \vec{M}$

Para o termo de Superfície temos $\vec{k}_M^{\text{sub b}} = \vec{M} \times \hat{n}$

onde \hat{n} é o vetor normal à superfície: $d\vec{s}' = \hat{n} d\sigma'$

$$\boxed{\vec{A}(\vec{r}) = \frac{\mu_0}{4\pi} \int_{\text{Vol}} \frac{\vec{J}_M(\vec{r}') dV'}{\mu_0} + \frac{\mu_0}{4\pi} \oint \frac{\vec{k}_M(\vec{r}') d\vec{s}'}{\mu_0}}$$

Com \vec{M} obtemos \vec{A} e assim obtemos \vec{B} .

Ex. 6.1 //

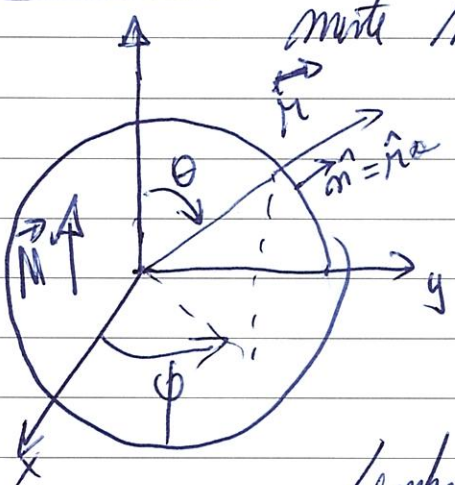
Encontrar o campo de um rolo espiral uniforme

muito Magnetizado (Magnetização uniforme).

$$\vec{M} = M \hat{z}$$

$$\vec{J}_M = \nabla \times \vec{M} = 0 \quad \text{pois } M = \text{cte.}$$

$$\vec{k}_M = \vec{M} \times \hat{n} = M \sin \theta \hat{\phi}$$



lembrando do exercício 5.11, um rolo com distribuição de carga 5 gerando um dô

$$\vec{K} = \vec{B} \vec{v} = \vec{\omega} \vec{r} \times \vec{R} = \omega R \sin \theta \hat{\phi}$$

fazendo $\vec{\omega} R = |\vec{M}|$ ou $\vec{M} = G R \vec{\omega}$

Temos que $\vec{B} = \frac{2}{3} \mu_0 M$ dentro do sfera.

$$\vec{m} = \vec{B}_{\text{força}} = \frac{4}{3} \pi R^3 M \vec{M} \text{ em o campo de um } \underline{\text{dipolo}}$$

Vejamos em mais detalhes o caso p/ $r > R$ da coroa espessa quando (Ex. 5.11 e Prob. 5.36)

$$\text{Eq. 5.66 do Griffiths: } \vec{A}(\vec{r}) = \frac{\mu_0 R^4 \sin \theta}{3 r^2} \hat{\phi} \text{ em}$$

$$\vec{A}(\vec{r}) = \frac{\mu_0 R^3 M}{3 r^2} \sin \theta \hat{\phi}$$

onde $M = 6 \omega R$

$$\vec{A} = \frac{\mu_0}{4\pi} \frac{4\pi}{3} R^3 M \frac{\hat{z} \times \vec{r}}{r^3}$$

Note que o momento total de dipolo da sfera é $\vec{m} = M \hat{z}$. Vai

$$\vec{m}_{\text{Tot}} = \frac{4}{3} \pi R^3 M \hat{z} \text{ em sfera}$$

$$\boxed{\vec{A} = \frac{\mu_0}{4\pi} \frac{\vec{m} \times \hat{r}}{r^2}}$$

exatamente o potencial vetorial de um dipolo perfeito.